

# Pb(Fe<sub>2/3</sub>W<sub>1/3</sub>)O<sub>3</sub>가 (Pb<sub>x</sub>Ca<sub>1-x</sub>)ZrO<sub>3</sub>의 소결과 마이크로파 유전 특성에 미치는 영향

임 상 규, 김 덕 환, 안 칠

서강대학교 전자공학과

서울시 마포구 신수동 1. (121-742)

e-mail : s297032@ccs.sogang.ac.kr

## Effect of Pb(Fe<sub>2/3</sub>W<sub>1/3</sub>)O<sub>3</sub> on the Sintering and Dielectric Characteristics of (Pb<sub>x</sub>Ca<sub>1-x</sub>)ZrO<sub>3</sub>

Sang-Kyu Lim, Duck-Whan Kim, Chul An

Department of Electronic Engineering, Sogang University

1 Sinsoo-Dong, Mapo-Gu, Seoul, Korea

e-mail : s297032@ccs.sogang.ac.kr

### Abstract

In this paper, the microwave dielectric properties of the yPb(Fe<sub>2/3</sub>W<sub>1/3</sub>)O<sub>3</sub> - (1-y)(Pb<sub>x</sub>Ca<sub>1-x</sub>)ZrO<sub>3</sub> system were investigated. It was found that an addition of Pb(Fe<sub>2/3</sub>W<sub>1/3</sub>)O<sub>3</sub> promotes the grain growth, the solid solution between the Pb-based perovskite and the Ca-based perovskite and the decreasing of the sintering temperature. Especially, we found that 0.05Pb(Fe<sub>2/3</sub>W<sub>1/3</sub>)O<sub>3</sub> - 0.95(Pb<sub>x</sub>Ca<sub>1-x</sub>)ZrO<sub>3</sub> ceramic has not only lower sintering temperature but also better dielectric properties than those of the (Pb,Ca)ZrO<sub>3</sub> systems.

### I. 서 론

현재 유전체 공진기를 이용한 무선 통신용 부품에 이용되고 있는 마이크로파 유전체의 유전율( $\epsilon_r$ )은 대략  $\epsilon_r = 20 \sim 90$  정도이며, 대표적인 물질들은  $\epsilon_r = 21$ 인 MgTiO<sub>3</sub>-CaTiO<sub>3</sub> 계,  $\epsilon_r = 38$ 인 (Zr,Sn)TiO<sub>4</sub>, 그리고  $\epsilon_r = 90$ 인 BaO-PbO-Nd<sub>2</sub>O<sub>3</sub>-TiO<sub>2</sub> 계 등을 들 수 있다. 한편, 기기의 소형화와 경량화를 위해 유전율

이 90 이상인 마이크로파 유전체의 개발이 최근 활발히 이루어지고 있는데, 그 중 가장 대표적인 물질로 강유전체인 PbZrO<sub>3</sub>의 A-site를 Ca<sup>2+</sup> 이온으로 치환하여 상전이점을 상온보다 충분히 낮춘 (Pb,Ca)ZrO<sub>3</sub> (이하 PCZ)계<sup>[1]</sup>를 들 수 있다. PCZ계의 유전율은  $\epsilon_r \approx 100$ 으로 이미 알려져 있는 물질들에 비해 높아 그 가치가 인정되지만, 소결 온도가 1450°C 이상으로 매우 높고 소결 시 Pb의 휘발에 따른 소결의 어려움이 있다는 단점을 지니고 있다<sup>[2]</sup>. 따라서 이의 해결을 위해 PbO와 낮은 공용점을 형성하는 ZnO, Fe<sub>2</sub>O<sub>3</sub>, WO<sub>3</sub> 및 V<sub>2</sub>O<sub>5</sub> 등의 첨가제를 이용하여 소결 온도를 낮추려는 다양한 연구가 행해졌으나, 마이크로파 유전체로 응용하기에 지나차게 큰 유전 손실을 나타내어 실효성을 거두지는 못하고 있는 실정이다.

따라서 본 연구에서는 PCZ계 마이크로파 유전체의 기본적인 성질을 저하시키지 않으면서 동시에 PCZ계의 소결 온도를 낮추기 위해 PCZ계에 Pb(Fe<sub>2/3</sub>W<sub>1/3</sub>)O<sub>3</sub> (PFW)를 첨가하였다. 강유전체인 Pb(Fe<sub>2/3</sub>W<sub>1/3</sub>)O<sub>3</sub>-Pb(Fe<sub>1/2</sub>Nb<sub>1/2</sub>)O<sub>3</sub>의 소결온도가 낮고,<sup>[3]</sup> PCZ계와 같은 Perovskite 구조를 가진다는 점, 그리고 PbO가 Fe<sub>2</sub>O<sub>3</sub> 및 WO<sub>3</sub>와 낮은 공용점을 형성한다는 사실로부터 PFW를 선택하였으며, PFW의 첨가가 PCZ의 소결 온

도 저하와 유전 특성에 어떠한 영향을 미치는지를 살펴보았다. 그리고 이를 미세구조 관찰을 통해 고찰하였으며, 소결 온도와 유전 특성 측면에서 마이크로파 유전체를 이용한 응용 재료로서의 그 가능성을 살펴보았다.

## II. 실험 방법

본 실험의 기본적인 조성은 다음과 같은 조성식으로 나타낼 수 있으며, 여기서  $y$ 는 0.025, 0.05, 0.075, 0.1이고,  $x$ 는 0.6, 0.55, 0.5, 0.45이다. 실험에 사용된 시약은 모두 순도 99% 이상의 고순도 시약이며, 시편의 제조는 일반적인 세라믹 제조 방법에 의해  $\text{PbO}$ ,  $\text{CaCO}_3$ ,  $\text{ZrO}_2$ ,  $\text{Fe}_2\text{O}_3$ ,  $\text{WO}_3$  분말을 혼합·분쇄한 후, 알루미나 도가니에 넣어 밀폐시켜 700°C, 800°C, 900°C, 1000°C에서 하소하였다. 하소 후 attrition milling 방법에 의해 분말을 미세 분쇄하였고 바인더를 혼합하여 원통형 금형에 넣고 성형하였다. 성형된 시료는 1050°C에서 1300°C 까지 50°C 간격으로 소결 온도를 변화시키며 소결하였으며, 이때 시편의 주 성분인  $\text{PbO}$ 의 휘발을 막기 위하여 알루미나 도가니에 중량비가  $\text{PbO} : \text{ZrO}_2 = 9 : 1$  인 혼합 분말을 함께 넣어 Pb 분위기를 형성시켜 소결하였다.

마이크로파 대역에서 유전체의 유전 특성은 Hakki와 Coleman에 의해 제안되고 Courtney와 Kobayashi에 의해 수정 보완된 Dielectric Rod Resonator 방법<sup>[ii]</sup>을 이용하여 측정하였고, 공진주파수의 온도계수( $\tau_f$ )는 0°C ~ 80°C에서 측정되었다. 이 때 사용된 관계식은 다음과 같다.

$$\tau_f = \frac{1}{f_0} \frac{df}{dT} = \frac{1}{f_0} \frac{f_{80} - f_0}{80 - 0} \times 10^6 [\text{ppm}/\text{°C}] \quad (2)$$

( $f_0$  : 0°C의 공진주파수,  $f_{80}$  : 80°C의 공진주파수)

한편, 각 온도에서 소결된 시편을 grinding 및 polishing 한 후 회색된 25% 실산 용액 100ml에 50% 분산 용액 2~3 방울을 첨가한 용액으로 예장하여 이를 JEOL사의 SEM(JSM840A)을 이용하여 미세 구조를 관찰하였다.

## III. 실험 결과

### 1. $y\text{Pb}(\text{Fe}_{2/3}\text{W}_{1/3})\text{O}_3-(1-y)(\text{Pb}_x\text{Ca}_{1-x})\text{ZrO}_3$ 의 유전특성

$y\text{Pb}(\text{Fe}_{2/3}\text{W}_{1/3})\text{O}_3-(1-y)(\text{Pb}_x\text{Ca}_{1-x})\text{ZrO}_3$ 에서  $x$ 를 0.45, 0.5, 0.55, 0.6으로 변화시키고, 동시에  $y$ 를 0.025, 0.05, 0.075, 0.1로 변화시키면서 전체 16개 시편의 유전 특

성을 측정하여 그 경향성을 살펴보았다. 우선 조성 변화에 따른 유전율의 변화를 그림 1에 나타내었다. 그림 1로부터  $y$ 가 일정할 때,  $x$ 가 증가함에 따라 유전율이 증가하고 있는데, 이는 PCZ계에서 A-site의  $\text{Pb}^{2+}$ ion의 양이 증가함에 따라 유전율이 증가하는 경향과 일치하고 있다. 그리고 PFW의 첨가로 인해 PCZ 계보다 더 높은 유전율을 나타내고, 또한  $x$ 가 일정할 때,  $y$ 가 증가함에 따라 즉, PFW의 첨가량이 증가함에 따라 유전율이 증가하고 있다. 이것 또한  $\text{Pb}^{2+}$ ion의 ionic polarizability( $6.21 \text{ Å}^3$ )<sup>[5]</sup>가  $\text{Ca}^{2+}$ ion의 ionic polarizability ( $3.17 \text{ Å}^3$ )<sup>[5]</sup>보다 상대적으로 높아 PFW의 첨가량이 증가함에 따라 결국  $\text{Pb}^{2+}$ ion의 총량이 증가하기 때문인 것으로 분석된다. 따라서 유전체의 유전율은 소결체 내부에서 기공이 차지하는 체적비, 이차상의 형성 여부 등 다른 여러 가지 요인에 의해서도 영향을 받겠지만, 이 시스템에서 유전율 변화의 주요 요인은 조성비임을 알 수 있다.

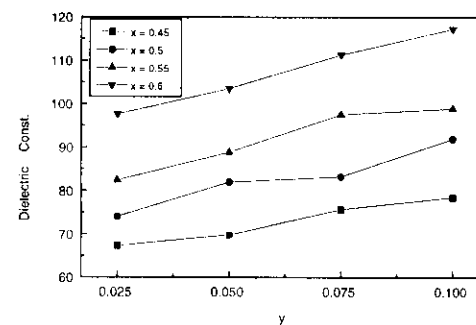


그림 1.  $y\text{Pb}(\text{Fe}_{2/3}\text{W}_{1/3})\text{O}_3-(1-y)(\text{Pb}_x\text{Ca}_{1-x})\text{ZrO}_3$ 에서  $x, y$ 의 변화에 따른 유전 상수의 변화

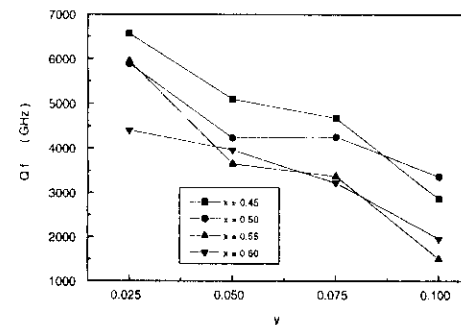


그림 2.  $y\text{Pb}(\text{Fe}_{2/3}\text{W}_{1/3})\text{O}_3-(1-y)(\text{Pb}_x\text{Ca}_{1-x})\text{ZrO}_3$ 의  $x, y$ 의 변화에 따른  $Q \cdot f$  값의 변화

한편, 마이크로파 유전체의 용융 가능성을 가능하는 또 하나의 인자는  $Q \cdot f$  값이다. 그림 2는  $x$ 와  $y$ 의 변화량에 따른  $Q \cdot f$  값의 변화를 나타낸 것으로,  $y$ 가 일정할 때,  $x$ 가 증가함에 따라 대체로  $Q \cdot f$  값이 감소하고 있으며, 이는 PCZ계와 같은 경향을 나타내고 있다. 또한  $x$ 가 일정할 때, PFW의 양이 증가함에 따라  $Q \cdot f$  값이 감소하고 있지만,  $y \leq 0.075$ 의 범위에서는 PCZ계 보다 더 높은  $Q \cdot f$  값을 나타내고 있다. 따라서 유전율과  $Q \cdot f$  값 측면 모두에서 소량의 PFW 첨가는 유전 특성을 향상시키는데 도움을 주고 있다.

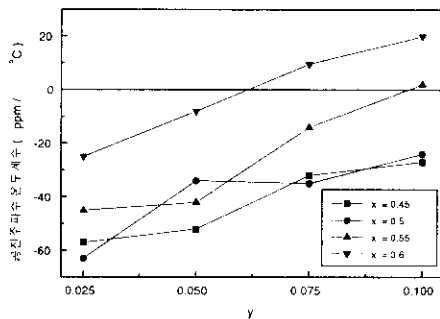


그림 3은  $x$ 와  $y$ 의 변화에 따른 공진주파수의 온도계수( $\tau_f$ )를 나타낸 것으로, Pb의 물비가 증가할수록 그리고 PFW의 첨가량이 증가할수록 공진주파수의 온도계수가 증가하고 있다. 특히 온도에 안정한 유전체의 조성 범위는  $x = 0.6$ 일 때  $0.05 \leq y \leq 0.075$ , 그리고  $x = 0.55$ 일 때  $0.09 \leq y \leq 0.1$ 인 것을 알 수 있다.

이상의 결과를 유전율과  $Q \cdot f$  값 및 공진주파수의 온도계수 측면에서 종합해보면,  $x = 0.6$ 의 조성이 우수한 마이크로파 유전 특성을 갖고 있으며, 실제 용융 가능한 조성으로 판단된다.

## 2. yPb(Fe<sub>2/3</sub>W<sub>1/3</sub>)O<sub>3</sub>-(1-y)(Pb<sub>0.6</sub>Ca<sub>0.4</sub>)ZrO<sub>3</sub>

yPb(Fe<sub>2/3</sub>W<sub>1/3</sub>)O<sub>3</sub>-(1-y)(Pb<sub>0.6</sub>Ca<sub>1-x</sub>)ZrO<sub>3</sub>에서 우수한 마이크로파 유전 특성을 지닌 것으로 여겨지는  $x = 0.6$  일 때의 경우,  $y$ 를 각각 0.025, 0.05, 0.075, 0.1로 변화 시켜 가면서 소결 온도에 따른 밀도의 변화를 살펴 보았다. 그림 4에서 보는 바와 같이 PFW의 첨가로 인해 최대 밀도를 갖는 소결 온도점이 1250°C 이하에서 나타나고 있으며, 첨가량이 증가할수록 소결점이 더욱 낮아지는 경향을 보이고 있다. 이를 통해 PFW의 첨가가 소결 온도 저하에 기여하고 있으며, 이것은 PCZ계

의 경우 1250°C 이상에서, 특히 온도에 안정한 조성인 (Pb<sub>0.6</sub>Ca<sub>0.4</sub>)ZrO<sub>3</sub>가 1450°C에서 소결되는 것과 비교해 볼 때, PFW의 첨가는 유리한 소결 조건을 제공하고 있다.

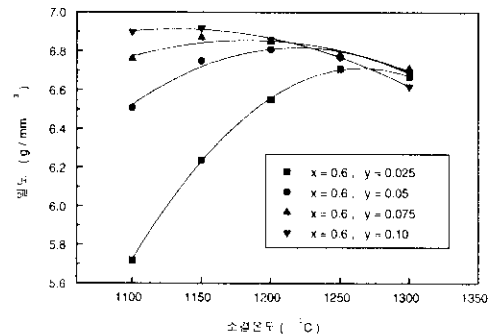


그림 4. yPb(Fe<sub>2/3</sub>W<sub>1/3</sub>)O<sub>3</sub>-(1-y)(Pb<sub>0.6</sub>Ca<sub>0.4</sub>)ZrO<sub>3</sub>의 소결 온도에 따른 밀도의 변화

또한 소결체의 밀도 변화는 시편의 미세구조 관찰을 통해서도 확인할 수 있다. 그림 5의 (a)는  $y=0.025$ 인 경우 1150°C 소결체의 미세구조 사진이고 (b)는  $y=0.075$ 인 경우의 1150°C 소결체의 미세구조 사진이다. 그림 5에서도 볼 수 있듯이 PFW의 조성비가 커질수록 입성장이 활발하게 일어나 기공이 감소하고, 입자의 크기가 증가했음이 확인된다. 이러한 결과의 원인으로는 PbO와 Fe<sub>2</sub>O<sub>3</sub> 그리고 PbO와 WO<sub>3</sub>의 상평형도를 참고로 했을 때<sup>[6]</sup>, 이들의 공용점이 각각 730°C 정도로 낮아 이 조성이 액상을 형성하여 액상 소결의 메카니즘을 형성하고 있는 것으로 유추해 볼 수 있다.

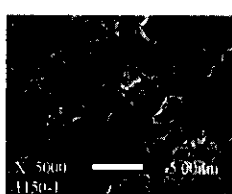


그림 5(a)  $y = 0.025$ ,  $x = 0.6$ , 1150°C 소결체의 미세구조



그림 5(b)  $y = 0.075$ ,  $x = 0.6$ , 1150°C 소결체의 미세구조

한편, 이차상의 유물과 PFW 첨가에 따른 상의 변화를 알아보기 위하여 위와 같은 조성에서 1100°C 및 1150°C 소결체의 XRD 분석을 해 보았으며, 이의 결과를 그림 6에 나타내었다. 그림 6에서 전체적으로 이 차상으로 보이는 peak는 관측되지 않았으며, PFW의 조성비가 커질수록 Ca-based perovskite와 Pb-based

perovskite의 peak가 이동하여 단일한 peak를 형성하고 있다. 이는 PFW의 조성비가 증가할수록 보다 낮은 온도에서 완전한 고용체를 형성하는데 유리하다고 볼 수 있다. 따라서 이상의 결과를 종합하여 볼 때, PFW의 첨가는 낮은 온도에서도 입성장을 보다 활발히 진행시키며, 이는 고용을 통한 단일상의 형성에도 기여한다고 할 수 있다.

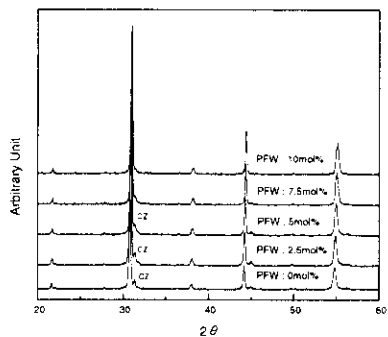


그림 6(a).  $y\text{Pb}(\text{Fe}_{2.3}\text{W}_{1.3})\text{O}_3 - (1-y)(\text{Pb}_{0.6}\text{Ca}_{0.4})\text{ZrO}_3$ ,  
1100°C 소결체의 XRD Pattern

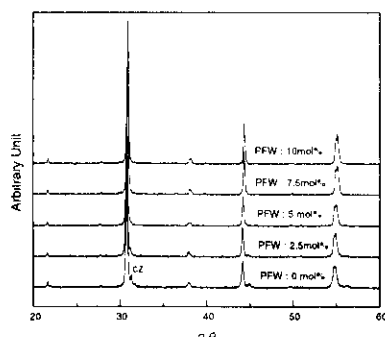


그림 6(b).  $y\text{Pb}(\text{Fe}_{2.3}\text{W}_{1.3})\text{O}_3 - (1-y)(\text{Pb}_{0.6}\text{Ca}_{0.4})\text{ZrO}_3$ ,  
1150°C 소결체의 XRD Pattern

#### IV. 결 론

마이크로파 유전체들 중 유전율이 90 이상인  $(\text{Pb}, \text{Ca})\text{ZrO}_3$ 계 유전체의 기본적인 유전 특성을 저하시키지 않으면서 동시에 소결 온도를 낮추기 위해 PCZ에  $\text{Pb}(\text{Fe}_{2.3}\text{W}_{1.3})\text{O}_3$  (PFW)를 첨가한  $y\text{Pb}(\text{Fe}_{2.3}\text{W}_{1.3})\text{O}_3 -$

$(1-y)(\text{Pb}_{0.6}\text{Ca}_{0.4})\text{ZrO}_3$  계의 마이크로파 유전 특성 변화에 관해 알아보았다. PFW의 첨가는 보다 낮은 소결 온도에서도 입성장을 촉진시키는 방향으로 작용하며 따라서 PFW의 조성비가 증가할수록 치밀하게 되는 소결 온도가 낮아짐을 확인할 수 있었다. 또한 XRD 분석을 통하여 PFW는 전체적으로 Pb-based perovskite와 Ca-based perovskite의 고용을 촉진시키는 작용을 하고 있음을 확인되었다.

한편, PFW의 첨가량이 증가할수록 유전율은 높아지고  $Q \cdot f$  값은 감소하며, 공진주파수의 온도계수는 양의 방향으로 이동하는 것을 확인할 수 있었다. 따라서 PFW 조성비를 증가시켜 소결 온도를 낮추는 것은  $Q \cdot f$  값의 감소로 인해 용융성 측면에서 제약을 받는다. 그러나 본 연구를 통해  $0.05\text{Pb}(\text{Fe}_{2.3}\text{W}_{1.3})\text{O}_3 - 0.95(\text{Pb}_{0.6}\text{Ca}_{0.4})\text{ZrO}_3$ 의 경우, 기존에 보고되었던 PCZ와 비교해 볼 때, 유사한 유전 특성을 가지면서도 소결 온도를 약 200°C 감소시켜 용융적인 가치가 더 크다는 것을 확인하였다.

#### 참 고 문 헌

- [1] 정 대석, “ $(\text{Pb}_{1-x}\text{Ca}_x)(\text{Zr}_{1-y}\text{Sn}_y)\text{O}_3$  세라믹스에 있어서 결정학적 구조가 고주파 유전 특성에 미치는 영향,” 한국과학기술원, 박사학위 논문, 1996.
- [2] J. Kato, H. Kagata, and K. Nishimoto, “Dielectric properties of lead alkaline-earth zirconate at microwave frequencies,” *Jpn. J. Appl. Phys.*, vol. 30, no. 9B, pp. 2343~2346, Sep. 1991.
- [3] M. Nakano, K. Suzuki, T. Miura, and M. Kobayashi, “Low-temperature-fireable dielectric material  $\text{Pb}(\text{Fe}_{2.3}\text{W}_{1.3})\text{O}_3 - (\text{Pb}, \text{Ca})(\text{Fe}_{1.2}\text{Nb}_{1.2})\text{O}_3$  for microwave use,” *Jpn. J. Appl. Phys.*, vol. 32, Part 1, no. 9B, pp. 2343~2346, Sep. 1991.
- [4] Y. Kobayashi and M. Katoh, “Microwave measurement of dielectric properties of low-loss materials by the dielectric rod resonator method,” *IEEE Trans. Microwave Theory Tech.*, vol. 33, pp. 586~592, July. 1985.
- [5] R. D. Shanon, “Dielectric polarizabilities of ions in oxides and fluorides,” *J. Appl. Phys.*, vol. 73, no. 1, pp. 348~366, Jan. 1993.
- [6] R. S. Roth, J. R. Dennis, and H. F. McMurdie, *Phase Diagrams for Ceramists*. The American Ceramic Society, Inc., 1979.